

x) current-voltage characteristics (I-U) and is applicable for arbitrary temperature measurements. Tihonov regulation method is used for the reconstruction of the trap level distribution function. The computer modeling procedure is used to control the correctness of our method: the direct task was solved first (the SCL I-U characteristics is calculated after the known trap distribution date), and then followed the back procedure (the trap distribution was determined on I-U characteristics). When used to calculate the I-U characteristics fine correction, the modeling results prove good coincidence of the input and output distribution parameters.

## СПИСОК ЛІТЕРАТУРИ

1. Ламперт М., Марк П. Инжекционные токи в твердых телах .- М.: Мир, 1972.
2. Кao K., Хуанг В. Перенос электронов в твердых тела: В 2-х т.- М.: Мир, 1984.-T.1.
3. Mark P., Helfrich W.// J. Appl. Phys. - 1962. - 33. - №1. - P.205.
4. Sworakowski J., Pigoz K. // J. Phys. Chem. Solids. - 1969. - 30. - №3. - P.419.
5. Nespurek A., Semejtek P// Czech. J. Phys. - 1972. - B.22. - P.160.
6. Bonham J.S.// Aust. J. Chem. -1973. - 26. - P.927.
7. Nespurek S., Sworakowski J.//J. Appl. Phys.- 1980.- 51.-№4.- P.2098.
8. Zmeskal O., Schauer F., Nespurek S.// J. Phys. C: Solid State Phys.-1985.- 18.- P.1873.
9. Nespurek S., Sworakowski J.//Radiat. Phys.Chem.- 1990.- 36. №1.- P.3.
10. Опанасюк А.С., Чекалов А.П./Вісн. Сумського державного ун-ту.-1994. №1.-С.29.
11. Опанасюк А.С., Тиркусова Н.В., Харченко В.І., Бобров А.Н.// Вісн. Сумського державного ун-ту, 1997. - N1(7). - С.131.
12. Любчак В.О., Опанасюк А.С., Тиркусова Н.В., Харченко В.І.// УФЖ, 1999.-44.-№6.-С. 741.
13. Nespurek S., Obrda J., Sworakowski J.// J. Phys. C: Solid State Phys.-1978.- 46.- №1. - P.273.
14. Schauer F., Nespurek S. Zmeskal O.// J. Phys. C: Solid State Phys.-1986.- 19.- P.7231.
15. Weisfield R.L.//J. Appl. Phys.- 1983.- 54.- №11.- P.6401.
16. Pfister J.C.// Phys. Stat. Sol. -1974.- 24.- №1.. P.K15.
17. Райкерус П.А., Лалзко В.А.//Радіотехника и електроника, 1984.-29.-№9.-С. 1840.
18. Muller R.S. //Solid State Electron, 1963. - 6.-N1.- P.25.
19. Верлань А.Ф., Сизиков В.С. Интегральные уравнения: методы, алгоритмы, программы. - Київ: Наукова думка, 1986.-543 с.
20. Леонов А.С.// ДАН СССР, 1978. - 240.- №1 - С.18.

Надійшла до редколегії 2 липня 1999 р.

УДК 620.127

## ВПЛИВ ОПРОМІНЮВАННЯ ПОТОКОМ ЗАРЯДЖЕНИХ ЧАСТИНОК НА СТРУКТУРНІ ПЕРЕТВОРЕННЯ ТА ДИФУЗІЙНІ ПРОЦЕСИ В ЗАХИСНИХ ПОКРИТТЯХ

О.Д.Погребняк, проф.; Н.І.Шумакова, асп.; Хворост В.А., доц.; В.С.Кишнякін\*, доц.  
\*Сумський державний педагогічний університет)

### ВСТУП

Потужні енергетичні пучки електронів і легких іонів широко використовуються для модифікації поверхневих шарів матеріалів, осадження пісков і покріттів, легування та ін. [1,2]. Концентровані потоки енергії дозволяють формувати поверхневі шари з новими структурними властивостями. Надвисокі швидкості нагрівання або охолодження разом із високим тиском ударної хвилі дозволяють одержувати метастабільні фази, в тому числі і аморфні, властивості яких суттєво відрізняються від властивостей покріттів у рівноважному стані.

При дії потоків енергії на покріття основними факторами, які визначають фізичні процеси, є тип частинок, тривалість імпульсу, величина температури, процеси плавлення, абляції, випаровування матеріалу покріття.

У даній роботі наводяться результати дослідження впливу потужних сильнострумових низькоенергетичних пучків електронів (СНПЕ) та потужних пучків іонів (ПІП) на фазовий склад покриттів, дифузійні процеси на межі окремих шарів і на межі покриття/підкладка і кристалічну структуру.

Об'єктами дослідження були покриття (Cr, Co, Ni) /П, (Cr-Co)/П, (Cr-Co)/П, Ni/П, (Co-Ni)/П (електрохімічне осадження) та плівкові матеріали (Al, Ni, Cr та сплав (Co-Ni)/П (вакуумне осадження) ( П - підкладка із сталі Ст3, яка на 99,6% складається із Fe ).

### 1 МЕТОДИКА ЕКСПЕРИМЕНТУ

Підкладки розміром 15 × 22мм і товщиною 0,5 - 4 мм перед гальванічним осадженням покриття шліфувалися, полірувалися, знежирювалися, травилися та активізувалися (при вакуумній конденсації виключалися операції травлення та активізації).

Гальванічні покриття товщиною 0,5-4 мкм були одержані за таких умов:

- покриття Cr: хромовокислий електроліт, температура процесу 380К, густина струму (4-6) · 10<sup>3</sup> А/м<sup>2</sup>;
- покриття Ni: сульфатний електроліт, температура процесу 293 - 297К, густина струму до 1 · 10<sup>2</sup> А/м<sup>2</sup>;
- покриття сплаву (Cr-Co): сульфатний електроліт, температура процесу 293-303К, густина імпульсного струму (1,5-6,0) · 10<sup>3</sup> А/м<sup>2</sup>, τ<sub>к</sub>=30с, пауза між імпульсами 1с, концентрація Co в покритті до 45%; pH=0,5-1,0;
- покриття сплаву (Ni-Co) : сульфатний електроліт, температура процесу 293-300 К, густина струму до 3 · 10<sup>2</sup> А/м<sup>2</sup>, pH=5,0-5,6; у покритті до 40% Co.

Конденсація плівкових покріттів Al, Ni, Cr та ( Ni-Co) здійснювалася у вакуумній установці ВУП -5М при тиску залишкової атмосфери ~ 10<sup>-4</sup> Па .

Товщина покріттів визначалася за допомогою мікрознімків шліфа поперечного перерізу і для контролю ваговим методом, а плівкових зразків - методом інтерферометрії.

Опромінення СНПЕ здійснювалося на установці «Надежда-2» із такими параметрами електронного пучка: E = 40 кеВ, q = (4,5 -12) · 10<sup>4</sup> Дж/м<sup>2</sup>, j=(5-25) · 10<sup>6</sup> А/м<sup>2</sup>, діаметр пучка до 5см, тривалість (τ) і частота імпульсів 2 мкс і 0,1-0,2 Гц, робочий вакуум 10<sup>-2</sup> - 10<sup>-3</sup> Па.

Опромінення ПІП (протонами) проводили на установці ETIGO-2 (Технологічний університет м. Нагаока, Японія) із такими параметрами :

$$E=1,2 \text{ МeВ}, q = (10-25) \cdot 10^4 \text{ Дж/м}^2, \tau = 50 \text{ нс.}$$

Фазові та структурні перетворення вивчалися рентгенографічним (ДРОН-2.0) та методом растрової мікроскопії (РЕМ -102Е).

Дифузійні процеси, розподіл елементів за товщиною покріття і підкладки вивчалися методом вторинно-іонної мас-спектроскопії (BIMC) (MC-7201M) і у випадку плівкових матеріалів контролювалися методом оберненого резерфордівського розсіювання (POP) із використанням іонів гелію із E=2MeВ. Середній розмір кристалів (L) визначався за відомим співвідношенням

$$L = \frac{0,94\lambda}{\Delta\Theta_{0,5} \cos\Theta},$$

де λ - довжина рентгенівського випромінювання; θ<sub>0,5</sub> - кутова ширина рентгенівської лінії на висоті 0,5 (у радіанах); Θ - кут дифракції.

## 2 РЕЗУЛЬТАТИ ДОСЛІДЖЕНЬ ТА ЇХ ОБГОВОРЕННЯ

### 2.1 РАДІАЦІЙНО-СТИМУЛЬОВАНІ ПЕРЕТВОРЕННЯ В ГАЛЬВАНІЧНИХ ПОКРИТТЯХ

Нами були досліджені такі три серії зразків:

-покриття Cr, Ni і Co на сталі;

-покриття із сплаву (Cr-Co), або (Cr-Co) з проміжним шаром Ni на сталі;

-покриття із сплаву (Ni-Co) на сталі.

Рентгенографічні дослідження дали наступні результати.

**Покриття Cr, Ni і Co.** У неопромінених зразках (Cr, Ni)/П фіксується ОЦК -Cr або ГЦК- Ni із параметром решітки ( $a$ ), дещо збільшеним порівняно з масивними зразками цих металів, тобто  $(a-a_0)\cdot a_0^{-1} > 0$ . Це збільшення постійної решітки пояснюється дією макронапружень розтягувального характеру, які виникають завдяки домішковим атомам із електроліту або підкладки. Analogічне збільшення параметра решітки спостерігається в підкладці ( $a_s$ ) після нанесення покриття ( $a_s'$ ), тобто  $(a_s'-a_s)x_{a_s'}^{-1} > 0$ . Як буде показано в підрозділі 2.4, збільшення пояснюється дифузією атомів покриття в підкладку. Подібне збільшення спостерігається при осадженні покриття Co, хоча відносно зміни параметра його решітки неможливо конкретно сказати, оскільки покриття досить дрібнодисперсне (середній розмір  $L$ , розрахований за дифракційним розширюванням однієї або двох ліній, які фіксуються рентгенографічно, складає величину менше 15 нм) і розупорядковане, про що свідчить сильний фон на рентгенограмах і розмиті, малої інтенсивності лінії. На відміну від Co у покриттях Cr і Ni середній розмір кристалів дещо більший: 18 (Ni) і 22 (Cr) нм.

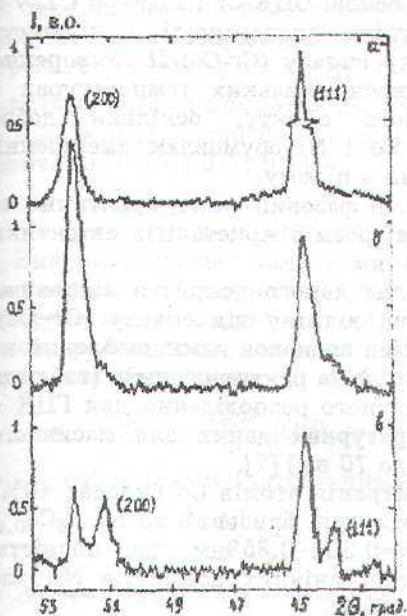


Рисунок 1. Фрагмент рентгенограми від покриття Ni:  
а - до опромінення; б - після опромінення електронами (перерозподіл інтенсивностей ліній (111) і (200) Ni та утворення сателітних ліній FeNi); в - після опромінення протонами (утворення інтерметаліду FeNi)

дійники, що обумовлює збільшення мікротвердості ( $H_u$ ), але скоріше за все, не впливає на зміну параметра решітки. Необхідно також підкреслити, що в зразках Ni/П після опромінення протонами утворюється інтерметалід FeNi (на рентгенограмах фіксується дві лінії 100 і 80% інтенсивності) з параметром ГЦК решітки  $a=0,3576 \text{ нм}$  і  $L \approx 22 \text{ нм}$  (рисунок 1). Після опромінення електронами інтерметалід лише починає утворюватися, і тому

на рентгенограмах фіксуються дві слабкі лінії у вигляді сателітів біля основних ліній Ni, які утворилися внаслідок розщеплення останніх (рисунок 1б). Необхідно також особливо підкреслити, що дія СНПЕ та ППІ обумовлює зменшення маси покриття за рахунок його випаровування і аблляції, хоча дія електронного пучка слабкіша за дію протонів (у першому випадку зменшення товщини покриття до 1 мкм, а в другому -1-1,5 мкм).

Узагальнення одержаних результатів наведено в таблиці 1. Результати дослідження структурних перетворень в покриттях Cr і Ni при відпалюванні розглянуті в нашій роботі [4].

**Покриття із сплаву (Cr-Co).** Рентгенофазовий аналіз вказує на те, що покриття сплаву (Cr-Co)/П трифазне і складається із евтектика ОЦК-Cr + +ГЦУ-Co ( $L \approx 7$  нм) і незначної кількості інтерметаліду  $Co_xCr_y$  ( $L \approx 8$  нм), в якого згідно з [3]  $x=0,40$ , що дещо відрізняється від експериментально заданої нами концентрації атомів Co. У той же час при осадженні сплаву на проміжний шар Ni евтектика формується на основі ОЦК-Cr і ГЦК-Co ( $L \approx 7-8$  нм) із незначними слідами ГЦУ-Co. Ступінь дисперсності і кількість інтерметаліду  $Co_xCr_y$  такі ж, як і у випадку сплаву (Cr-Co)/П. Утворення високотемпературної ГЦК-фази Co при відносно низьких температурах є наслідком проявлення фазового розмірного ефекту, оскільки добре кристалографічне сприяння ГЦК решіток Co і Ni обумовлює зменшення міжфазної енергії, а значить, і енергії системи в цілому.

Після опромінення електронами і протонами фазовий склад практично не змінюється, але відбувається рекристалізація: розмір кристалітів евтектики збільшується до 20 нм, а інтерметаліду – до 14 нм.

**Покриття із сплаву (Ni-Co).** Фазовий склад даного покриття відповідає інтерметаліду ГЦК –  $Ni_xCo_y$ , при цьому, на відміну від сплаву (Cr-Co), евтектика ГЦК-Ni+ГЦК-Co не утворюється. Цей висновок нами зроблений на основі аналізу розподілення інтенсивностей ліній на рентгенограмах (таблиця 2), яке дуже сильно відрізняється від аналогічного розподілення для ГЦК – фаз Ni і Co (окремо або сумісно) та літературних даних для масивного сплаву Ni-Co [6] і тонких плівок (товщиною до 70 нм) [7].

Оскільки експериментально задана концентрація атомів Co складає 40%, то хімічний склад інтерметаліду, який утворюється, близький до  $Ni_{0,6}Co_{0,4}$ . Параметр його решітки має величину  $a=0,352-0,353$  нм, що повністю відповідає параметру масивних зразків та гальванічних покриттів Ni, але розподіл інтенсивностей ліній сильно відрізняється.

У з'язку з тим, що покриття Co фактично не має кристалічної будови, у таблиці 2 наведені дані для масивного ГЦК-Co. Із таблиці 2 видно, що після опромінення протонами у сплаві (Ni-Co) відбуваються незначні структурні зміни (ефект електронів ще слабкіший), які лише призводять до незначного перерозподілу інтенсивностей ліній у інтерметаліду  $Ni_xCo_y$ .

Контрольні експерименти показали, що аналогічні результати мають місце, якщо сплав осаджується на підшари Co, Cr, (Cr-Co). Так, наприклад, параметр ГЦК -  $Ni_xCo_y$  має такі значення:  $a=0,353$  нм (підшар Co) та 0,352 нм (підшар Cr або (Cr-Co)). При аналізі фазового складу сплаву (Ni-Co) ми також мали на увазі, що Ni може утворювати з Fe (підкладкою) твердий розчин Ni-Fe або інтерметалід NiFe, як це було нами зафіксовано у випадку покриття Ni/П, які мають ГЦК решітку і відповідно параметри  $a=0,356$  нм (Міжнародний атлас, картка 12-736) і 0,359 нм (картука 23-297). Оскільки інтенсивності ліній цих фаз відрізняються ще сильніше від одержаних нами експериментально, ми доходимо висновку, що через відносно малу кількість атомів Ni у покритті із сплаву (Ni-Co) ці фази або рентгенівськими методами

не фіксуються, або не утворюються взагалі, на відміну від товстих гальванічних покріттів Ni/P.

## 2.2 ПЛІВКОВІ ПОКРИТТЯ Al, Ni Cr та (Ni-Cr)

Товщина плівкових покріттів мала величину  $d \leq 500$  нм. Їх фазовий склад і параметри решіток відповідають масивним зразкам (у випадку Al) або покріттям (Ni-Cr). У плівках сплаву (Ni-Cr), як і у гальванічних покріттях або тонких плівках [7], утворюється інтерметалід із параметрами решітки  $a = 0,353$  нм. Оскільки товщина покріттів відносно мала, то на рентгенограмах завжди фіксувалася система ліній, які відповідали підкладці ( $\alpha$ -Fe). Параметр її решітки має такі величини:  $a_s' = 0,2869$  нм (покріття Al і Cr) і  $0,2866$  нм (Ni). Після опромінення пучком електронів і протонів атоми покріття частково випаровуються або дифундують у підкладку, в результаті цього рентгенівським методом фази Al, Ni Cr та  $Ni_xCr_y$  не виявляються, але, як буде показано в наступному підрозділі, мас-спектрометрично ці елементи фіксуються. Вимірювання параметра решітки підкладки до і після опромінення вказує на ефект його зміни протилежного характеру порівняно із гальванічними покріттями, тобто  $(a_s' - a_s) \cdot a_s^{-1} < 0$ : -0,14% (Al); 0,07% (Ni) та 0,24% (Cr), у той час як до опромінення протонами ці зміни мають такі величини: 0,1%; 0%; 0,11%.

## 2.3 ПРОЦЕС УТВОРЕННЯ ВАКАНСІЙ У ПОКРИТТЯХ

Використовуючи дані рентгенівських досліджень параметрів решітки підкладки та покріття, можна оцінити концентрацію вакансій, які утворюються в покрітті (відповідно в підкладці – атомів проникнення). В основу розрахунків покладена модель твердих сфер. Основні співвідношення мають такий вигляд:

$$v_0 = \frac{4}{3} \pi r^3, r = \frac{\sqrt{3} a}{4} \text{ (ОЦК решітка)}, \text{ або } r = \frac{\sqrt{2} a}{4} \text{ (ГЦК решітка)}, \quad (1)$$

де  $v_0$  – об’єм вакансії (атома проникнення);  $r$  – радіус атома.

$$\frac{\Delta V}{V} = \frac{(a')^3 - a^3}{a^3}, \quad \left( \frac{\Delta V}{V} \right)_s = \frac{(a_s')^3 - a_s^3}{a_s^3}, \quad (2)$$

де  $\Delta V/V$  і  $(\Delta V/V)_s$  – зміна об’єму решітки покріття і підкладки після опромінення.

Кількість вакансій у покрітті (у підкладці відповідно атомів проникнення) на елементарну комірку після опромінення електронами ( $e$ ) або протонами ( $p$ ) визначалася за співвідношеннями

$$n_e = |\Delta V|_e / v_0, \quad n_p = |\Delta V|_p / v_0. \quad (3)$$

Тоді  $N_e = n_e N_A'$ ,  $N_p = n_p N_A'$ , де  $N_{p,e}$  – число вакансій на 1 моль;  $N_A' = N_A/2$  (ОЦК решітка) і  $(4) N_A/4$  (ГЦК решітка);  $N_A$  – число Авогадро.

Результатами розрахунків за співвідношеннями (1-3) на прикладі гальванічних покріттів Cr та Ni і для підкладок із Ст3 після випаровування та часткової дифузії під дією протонів атомів плівкових покріттів Al, Ni та Cr, наведені в табл. 3.

Одержані результати можна узагальнити таким чином.

Оскільки знак зміни параметра решітки покріття і підкладки протилежний, а  $|\Delta V|_{e,p}$  і  $(\Delta V_s)_{e,p}$  мають одного порядку величину, то можна стверджувати, що в покрітті утворюються вакансії за рахунок радіаційно-стимульованої дифузії атомів

Таблиця 1 - Вплив опромінення електронами і протонами на структуру і механічні властивості покрівтів

Зразок	До опромінення			Опромінення електронами			Опромінення протонами		
	$a'_s, \text{нм}$	$a, \text{нм}$	$H_m, \text{kG/mm}^2$	$a'_s, \text{нм}$	$a', \text{нм}$	$H_m, \text{kG/mm}^2$	$a'_s, \text{нм}$	$a', \text{нм}$	$H_m, \text{kG/mm}^2$
1 Cr/II	0,2868 $\Delta a_s/a_s = 0,03\%$	0,2883-0,2895 $\Delta a/a_0 = 0,10-0,30\%$	550	0,2874 $\Delta a_s/a_s = 0,2\%$	0,2880 $\Delta a/a = -(0,1-0,4)\%$	640-700	0,2869-0,2874 $\Delta a_s/a_s = 0,03-0,20\%$	0,2869-0,2883 $\Delta a/a = -(0,38-0,50)\%$	558-800
1' Cr/II відп.	-	0,2898 $\Delta a/a_0 = 0,40\%$	500	0,2885 $\Delta a_s/a_s = 0,6\%$	0,2897 $\Delta a/a = -0,03\%$	680-730	-	-	-
2 Ni/II	0,2873-0,2875 $\Delta a_s/a_s = 0,21-0,3\%$	0,2883-0,2895 $\Delta a/a_0 = 0,10-0,30\%$	410	0,2877 $\Delta a_s/a_s = 0,07-0,15\%$	0,3525 $\Delta a/a = -(0,2-0,6)\%$ 0,3576(FeNi)	580-600	0,2875 $\Delta a_s/a_s = 0,07\%$	0,3528-0,3530 $\Delta a/a = -(0,1-0,5)\%$ 0,3576 (Fe Ni)	519-600
3 (Cr-Co)/II	0,2869-0,2871 $\Delta a_s/a_s = 0,07-0,10\%$	0,2887	396	-	-	-	0,2868-0,2870 $\Delta a_s/a_s = 0,03-0,10\%$	0,2885 $\Delta a/a = -0,07\%$	664-750
3' (Cr-Co)/Ni/II	-	0,2888	480	-	-	-	0,2868 $\Delta a_s/a_s = 0,03\%$	0,2885 $\Delta a/a = -0,1\%$	530-700
4 (Ni-Co)/II	0,287 $\Delta a_s/a_s = 0,08\%$	0,3520-0,3530 ( $Ni_{0,8}Co_{0,4}$ )	430	-	-	-	0,2872 $\Delta a_s/a_s = 0,07\%$	0,3520 $\Delta a/a = -(0,025)\%$	500-600

$$a_0(\text{Cr})=0,2885 \text{ нм}; \quad a_0(\alpha\text{-Fe})=0,2866 \text{ нм}; \quad a_0(\text{Ni})=0,3524 \text{ нм}; \quad a_0(\beta\text{-Co})=0,2885 \text{ нм [5]}; \quad a_s = 0,2867 \text{ нм}$$

підкладку. Концентрація вакансій має значення  $N=10^{22}$  моль<sup>-1</sup> (Cr) та  $1,6 \cdot 10^{22}$  моль<sup>-1</sup> (Ni), або  $n=0,03$ , і 0,10 вакансій на елементарну комірку відповідно, що є дуже великою величиною (наприклад, при опроміненні  $\alpha$ -Fe приблизно в таких же експериментальних умовах концентрація точкових дефектів має величину порядку  $10^{18}$  моль<sup>-1</sup> [2]). Але необхідно мати на увазі, що утворення дефектів у покритті або підкладці відбувається в умовах плавлення присоверхневого шару.

Крім того, можна зробити висновок, що у випадку покриття Cr/P майже всі атоми Cr дифундують в об'єм решітки Ст3 (це пояснюється близькістю атомних радіусів та однотипністю кристалічних решіток). У випадку покриття Ni/P лише 37% атомів Ni дифундують в решітки, а решта - 63% - на межі зерен, утворюють терметалід і т.п. В умовах нашого експерименту дія електронного пучка, на перший погляд, більш ефективна порівняно із протонами (наприклад, для Ni  $IV_e/\Delta V_p \approx 1,75$ ), хоча, скоріше всього, під дією протонів випаровується більша маса покриття і дифузія атомів покриття іде на більшу глибину, що обумовлює утворення меншої кількості вакансій.

#### 2.4 ПЕРЕМІШУВАННЯ ЕЛЕМЕНТІВ І ДИФУЗІЙНІ ПРОЦЕСИ

Згідно з [1] при опроміненні СНПЕ або ППІ в покриттях протікають різні фізичні процеси: розпилення атомів, їх каскадне перемішування, радіаційно-імульсіонана дифузія, явище термічного піку та ін. Проведені нами мас-спектроскопічні дослідження вказують на те, що усі названі процеси мають місце при опроміненні пучком електронів або протонів.

Фіксуючи відносну зміну інтенсивності ліній масспектрів вторинних іонів від покриття і підкладки і аналізуючи в комплексі з методом РОР, можна вивчати процеси перемішування та дифузії після опромінення протонами і електронами. Деякі попередні результати таких досліджень наведені в роботі [8], але в цій роботі відсутні результати зміни елементного складу з глибиною зразка.

У гальванічному покритті Cr/P до опромінення відношення інтенсивності ліній ізотопу  $^{52}\text{Cr}^+$  до  $^{56}\text{Fe}^+$  (це найбільш розповсюджені ізотопи) складає величину 260, після опромінення пучком протонів, у результаті чого випаровується до 90% покриття, вказане відношення стає 0,47. При шаровому травленні зразка іонами  $\text{Ar}^+$  концентрація атомів Cr зменшується. Analogічні результати одержані і у випадку покриття Ni.

Дослідження плівкових систем (Cr-Co)/P і (Cr-Co)/Ni/P дали такі результати.

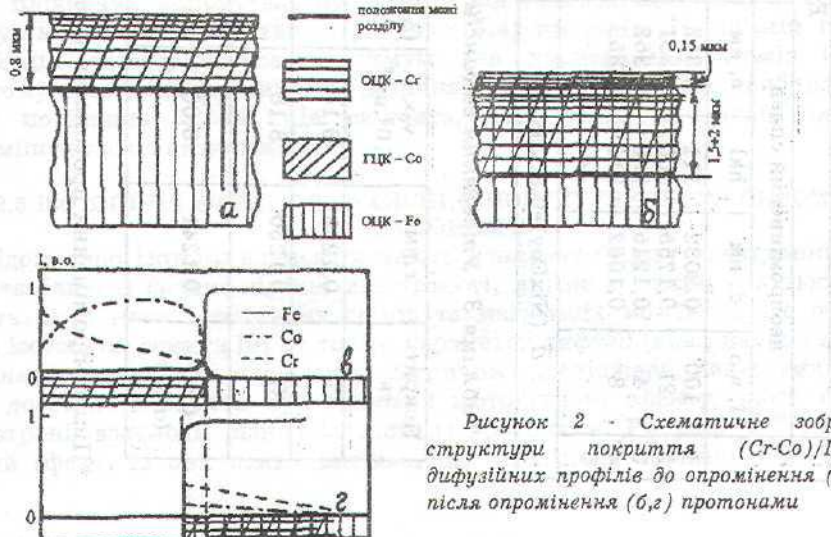


Рисунок 2 - Схематичне зображення структури покриття (Cr-Co)/P та дифузійних профілів до опромінення (а, в) та після опромінення (с, д) протонами

Виходячи із мас-спектрів від цих зразків, концентрація атомів Cr до опромінення зменшується по мірі травлення покриття первинними іонами, в той час як концентрація атомів Co майже не змінюється.

Таблиця 2 - Результати рентгенографічного аналізу покриття із сплаву (Ni-Co)

	Експериментальні дані									Табличні дані [5]			
	неопромінений сплав				опромінений сплав			неопромінений Ni			I, в.о	d, нм	a, нм
	I, в.о	d, нм	hkl	a, нм	I, в.о	d, нм	a, нм	I, в.о	d, нм	a, нм			
1	100	0,2032	111	0,352	100	0,2042	0,354	100	0,2040	0,353	100	0,204	0,353
2	21	0,1755	200	0,351	15	0,1758	0,352	33	0,1768	0,354	44	0,177	0,354
3	4	0,1245	220	0,352	9	0,1242	0,351	90	0,1243	0,353	22	0,125	0,354
4	8	0,1062	811	0,352	12,5	0,1062	0,352	-	-	-	22	0,07	0,353
5	-	-	222	-	9	0,1017	0,352	-	-	-	5	0,102	0,354
$\bar{a}$ (NixCoy)=0,352нм				$\bar{a}$ (NixCoy)=0,352нм				$\bar{a}$ (Ni)=0,353нм				$\bar{a}$ (Co)=0,354нм	

Таблиця 3 - Утворення вакансій після опромінення електронами і протонами

Покриття	r, нм	$v_0 \times 10^3, \text{нм}^3$	$(\Delta V/V)_e, \%$	$(\Delta V/V)_{se}, \%$	$(\Delta V/V)_p, \%$	$(\Delta V/V)_{sp}, \%$	$(\Delta V/\Delta V_s)_e$	$(\Delta V/\Delta V_s)_p$	$N_e/N_p$	$N_p \cdot 10^{-22}, \text{м}^{-3}$
Cr	0,1248	8,14	-1,17	1,25	-1,09	0,42	-0,96	-2,7	1,14	-
Ni	0,1250	8,18	-1,92	1,87	-1,10	0,64	-2,7	-3,3	1,78	-
Ст 3 ( $\alpha$ -Fe)*	0,1241	8,00	-	-0,52(Al) -0,10 Ni -0,70 (Cr)	-	-0,74(Al) -0,22(Ni) -1,00(Cr)	-	-	0,7(Al) 0,5(Ni) 0,7(Cr)	0,6 (Al) 0,2 (Ni) 9,0 (Cr)

\*Після опромінення протонами плівкових систем (Al,Ni,Cr)/П.

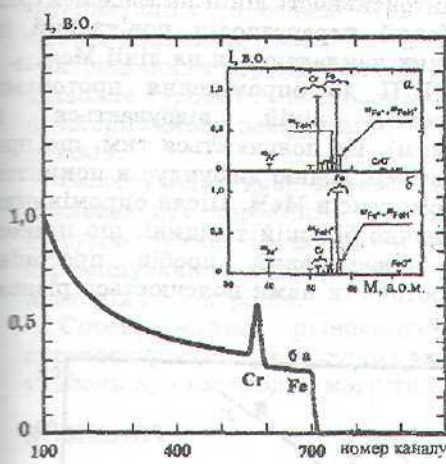


Рисунок 3 – Енергетичний спектр POP для зразка Cr/П після опромінення протонами. На вставці: мас-спектр вторинних іонів в точках а та б

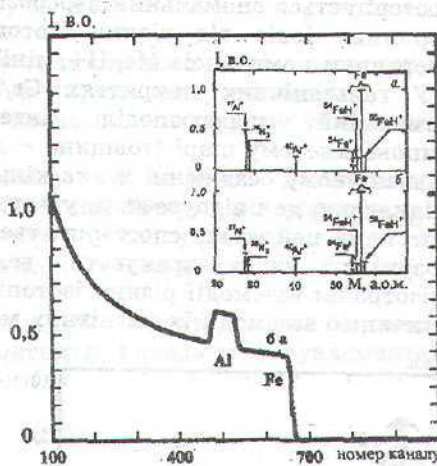


Рисунок 4 – Енергетичний спектр POP для зразка Al/П після опромінення протонами. На вставці: мас-спектр вторинних іонів в точках а та б

В результаті цього на межі покриття/ підкладка їх концентрація більша порівняно із атомами Cr. Після опромінення ситуація змінюється на протилежну – концентрація Co на поверхні стає приблизно в чотири рази меншою порівняно з Cr. Узагальнення результатів про кристалічну будову і дифузійні процеси для системи (Cr-Co)/П наведено у вигляді рисунка 2. У зразках (Cr-Co)/Ni/П після опромінення на поверхні також фіксується дуже мало атомів Co порівняно із атомами Cr і Ni.

Аналізуючи результати мас-спектрометричних досліджень, ми робимо висновок, що у випадку Cr і Ni покриттів після опромінення відбувається переміщування атомів Cr і Fe та Ni і Fe з паралельним випаровуванням покриття і частково підкладки. Частина атомів Cr або Ni дифундує по об'єму і межах зерен на значну глибину (до 2 нм) в підкладку.

У випадку покриття із сплаву (Cr-Co) відбуваються ті самі процеси, причому дифузія атомів Cr іде більш інтенсивно порівняно із атомами Co.

У плівкових покриттях, на відміну від гальванічних, на спектрах POP фіксується дія ударної хвилі (рисунки 3,4) протонів. На певній глибині в підкладці спостерігається максимум для концентрації атомів Cr і Al, причому в останньому випадку ширина максимуму більша приблизно в три рази порівняно із Cr. Це свідчить, що атоми Al більш інтенсивно переміщуються з атомами Fe.

## 2.5 ІЗОТОПІЧНІ ЕФЕКТИ В ЗАХИСНИХ ПОКРИТЯХ ПІСЛЯ ОПРОМІНЕННЯ ПРОТОНОМА

Відомо, що ізотопи елементів мають однакову будову електронних оболонок та близькі фізико-хімічні властивості, які не тотожні, оскільки ізотопи мають різні маси і величину спінів та магнітних моментів. Це обумовлює різні ізотопічні ефекти [9], а також параметри дифузії (див., наприклад [10]).

Аналіз результатів мас-спектрометричних досліджень, наведених у розділі 2.4, дозволяє говорити про різновид ізотопічного ефекту, який полягає в анізотропії взаємодії різних ізотопів із протонами. Рисунки 5-7 ілюструють даний ефект. Із цих даних витікає, що до і після опромінення протонами

спостерігається аномальний перерозподіл інтенсивності ліній на мас-спектрах вторинних іонів від різних ізотопів. Даний перерозподіл пов'язаний із утворенням комплексів  $M_{i+1}H^+$ , лінії від яких накладаються на лінії  $M_{(i+1)}$ .

У гальванічних покриттях  $Cr/P$  і  $Ni/P$  до опромінення протонами аномальний перерозподіл інтенсивностей ліній відбувається в приповерхневому шарі (товщина – до 0,1 мкм). Це пояснюється тим, що при гальванічному осадженні деяка кількість атомів водню дифундує в покриття і підкладку, де і відбувається утворення комплексів  $MnH$ . Після опромінення протонами цей ефект спостерігається на значно більшій товщині, що цілком зрозуміло, якщо врахувати великий проективний пробіг протонів. Анізотропія взаємодії різних ізотопів із протонами нами пояснюється різною величиною взаємодії їх магнітних моментів.

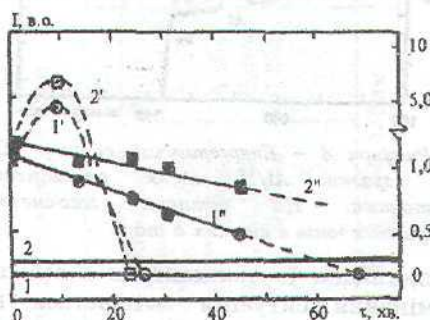


Рисунок 5 - Залежність відносної інтенсивності ліній  $I(^{53}Cr^+)/I(^{52}Cr^+)$  (1-1'') та  $I(^{54}Cr^+)/I(^{52}Cr^+)$  (2-2'') від часу травлення первинним пучком іонів: 1,2 - природне розповсюдження елементів; 1'2' - до опромінення; 1'', 2'' - після опромінення протонами ( $2''I(^{54}Cr^+ + ^{54}Fe^+)/I(^{52}Cr^+)$ )

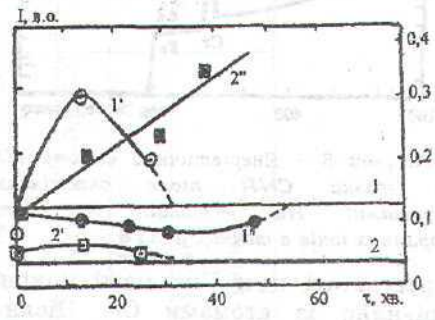


Рисунок 6 - Залежність відносної інтенсивності ліній  $I(^{55}Fe^+)/I(^{56}Fe^+)$  (1-1'') та  $I(^{57}Fe^+)/I(^{56}Fe^+)$  (2-2'') від часу травлення первинним пучком іонів: 1,2 - природне розповсюдження елементів; 1'2' - до опромінення; 1'', 2'' - після опромінення протонами

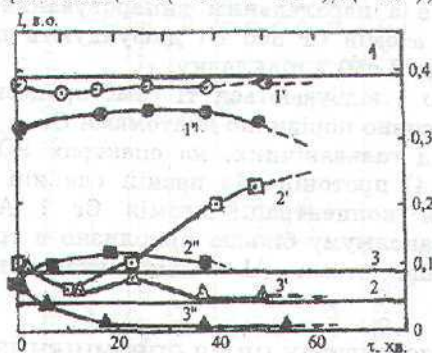


Рисунок 7 - Залежність відносної інтенсивності ліній  $I(^{60}Ni^+)/I(^{58}Ni^+)$  (1-1''),  $I(^{61}Ni^+)/I(^{58}Ni^+)$  (2-2'') та  $I(^{62}Ni^+)/I(^{58}Ni^+)$  (3-3'') від часу травлення первинним пучком іонів: 1-3 - природне розповсюдження елементів; 1'3' - до опромінення; 1''3'' - після опромінення протонами

### З ВИСНОВОК

Наведений комплекс результатів дозволяє говорити, що обробка поверхні покриття потоками заряджених частинок обумовлює контрольовану зміну структури і властивостей поверхневих шарів: плавлення, випаровування, утворення інтерметалідів, зміщення, накопичення вакансій та атомів проникнення, активізація дифузійних процесів та ін.

Дія протонного пучка призводить до більш помітних змін порівняно із дією електронів: випаровування майже всього покриття, утворення

інтерметаліду на основі Ni і Fe, дифузія атомів покриття у підкладку на значно більші відстані.

Порівняння структурних процесів у гальванічних і плівкових покриттях дозволяє зробити висновок, що вони протікають аналогічно, і якщо спостерігаються певні зміни, то це пов'язано лише з різними товщинами цих зразків.

Застосування двох методів мікроаналізу РОР та ВІМС дозволяє зробити висновок про кореляцію результатів. Великий інтерес викликають дані про дифузію атомів із покриття в підкладку, яка супроводжується ефектом переміщення, під сумісною дією високої температури і ударної хвилі протонів і електронів.

Спостереження різновиду ізотопічного ефекту при проникненні високоенергетичних протонів можна пояснити, виходячи із фундаментальних уявлень про взаємодію магнітних моментів.

## SUMMARY

The results of structure transformation in halvanic Cr, Ni, (Co-Cr)/Ni, (Co-Ni) coatings and Cr, Al, (Co-Ni)-film coating investigations under influence of electron and proton beams is present.

The results of type different isotropic effect observe with Cr, Ni, Fe isotops and protons interaction is perform.

## СПИСОК ЛІТЕРАТУРИ

1. Чупятова Л.П., Мурзин И.Т., Пекшева Т.Е. и др. Ионно-лучевое смешивание металлов: изменение состава поверхности // Поверхность, 1993.- №11.-С. 5-29.
2. Бойко В.И., Валеев А.Н., Погребняк А.Д. Модификация металлических материалов импульсными мощными пучками частиц // УФН, 1999.-Т.169.- № 11.-С.1-29.
3. Ерошенкова И.Г., Захаров А.М., Оленичева В.Г. Диаграммы состояния металлических систем (1982-88гг.). Вып.XXVIII. -М.: ВИНТИ, 1985.Ч.1.-С.62.
4. Pogrebnyak A.D., Shumakova N.I. Effect of «duplex» treatment on changes of physical and mechanical properties of steel (0,3wt% C) // Surf. and Coat. Tech. -1999.-V.122.-№2-3.-P.176-182.
5. Миркин Л.И. Справочник по рентгеноструктурному анализу поликристаллов. -М.: Ф-М, 1961. -863с.
6. Ганина Н.И., Захаров А.М., Оленичева В.Г. и др. Диаграммы состояния металлических систем (1987г.). Вып.XXXII.- М.: ВИНТИ, 1988.-С.90.
7. Kravchenko V.A., Loboda V.B., Protsenko I.Yu. Structure and electrophysical properties of Ni-Co alloy films within 300-1300R temperature range // Functional Materials.-1999.-V.6.-№5.-P.32-36.
8. Погребняк А.Д., Перекрестов В.И., Шумакова Н.И. Влияние облучения интенсивным пучком протонов на физико-механические свойства стали с защитными покрытиями//ВАНТ, 1999.-Вып.2(10). -С.50-53.
9. Физический энциклопедический словарь. -М.: СЭ, 1983.-С.214-215.
10. Колепова Т.В. Динамічне моделювання процесів атомної міграції в ГЦК-кристалах /Автореферат дисертації на здобуття вченого ступеня канд. фіз.-мат. наук. -Київ: ІМ НАНУ, 1999.-18с.

Поступила в редколлегию 18 февраля 2000 г.

УДК 539.242.532

## КРИСТАЛЛИЧЕСКАЯ СТРУКТУРА И ЭЛЕКТРОПРОВОДНОСТЬ ПЛЕНОК НИКЕЛЯ

Е.А.Белоус, асп.; С.Ф.Зелев,\* доц.; О.Г.Клименко, студ.; В.В.Токмань, инж.  
(\*АО "Selmi", г.Суми)

В зависимости от способов получения, условий конденсации (давление газов остаточной атмосферы, температура подложки, скорость осаждения) и толщины пленочные образцы по своим физическим свойствам отличаются от